

CaO-ZrO₂系 烧結體의 低溫 電氣傳導度에 關한 研究

朴 金 喆·崔 泳 婪*

漢陽大學校 無機材料工學科

(1984年 3月 28日 接受)

Low-Temperature Electrical Conductivity of Sintered Body in the Systems CaO-ZrO₂

Keum-Churl Park and Young-Sup Choi*

Dept. of Inorganic Material Eng. Han Yang Univ.

(Received 28 March, 1984)

ABSTRACT

The electrical conductivity of compositions in the system CaO-ZrO₂ has been measured by 2-probe technique in the temperature range 350~750°C.

The composition of maximum conductivity in this system is within the cubic solid-solution region close to low-calcia cubic solid-solution phase boundary.

The results are as follows :

- 1) The maximum conductivity was found 13mol CaO in zirconia.
- 2) As the CaO content was increased from 13 to 21 mol%, the electrical conductivity decreased for any given temperature and the activation energy increased.
- 3) As the firing temperature and soaking time was increased, the electrical conductivity increased and activation energy decreased

1. 緒 論

ZrO₂ 固溶體는 完全히 統計的으로 채워진 cation sublattice 와 oxygen ion vacancy 를 갖는 fluorite 構造를 갖는다고 Hund¹⁾가 發表한 以來 獨特한 電氣的性質 때문에 galvanic cell²⁾과 fuel cell³⁾에서 solid electrolytes 로써 또 高溫電氣爐에서 發熱體⁴⁾로써 有効하게 使用되고 있다. 그리하여 monoclinic ZrO₂의 2價 또는 3價의 金屬 酸化物를 添加하여 立方晶系의 固溶體로 安定화 시키면 모든 渦度範圍에서 monoclinic

→tetragonal 相變化가 發生하지 않고 oxygen ion vacancy 가 形成되어 總電氣傳導度는 0.85ZrO₂·0.15 CaO 的 組成의 경우 1000°C, 酸素分压 $10^{-1} \sim 10^{-2}$ MPa 에서 酸素分壓에 關係敘述⁵⁾ 一定 하며²⁾ 많은 研究者^{5~9)} 들이 $4 \times 10^{-3} \sim 3.3 \times 10^{-2}$ ohm⁻¹cm⁻¹의 값을 보여 주고 있다. 이는 總電氣傳導度가 거의 ion 傳導度를 表示하며 電子傳導度는 거의 무시 하여도 될을 意味 한다^{1~3,5)}. 結局 電氣傳導度는 anion vacancy 를 通하여 oxygen ion 들의 運動에 기인 된다. 本 研究는 CaO 7~21mol%範圍의 CaO-ZrO₂系에 對한 烧結溫度 1750°C 이서의 維持時間 變化와 16mol% CaO-84mol% ZrO₂의 組成에 對해서는 溫度와 維持時間を 各各 變化 시켰을 때 低溫에서의 電氣傳導度를 2 단자법으로 測定

*朝鮮耐火(株), 技術研究所

*Chosun Refractories Co. Research Center.

하여相互關係를究明하고 이에의活性화energy를求하였다.

2. 實驗方法

2-1. 試片製造

試薬인 ZrO_2 와 $CaCO_3$ 를 使用하여 CaO 7~21mol%範圍의 $CaO-ZrO_2$ 系配合에 Aceton을 加하여 混合, 乾燥하고 $12.5\phi \times 4mm$ 의 試片이 되게 金屬mold를 利用하여 20000psi 壓力으로 成形後 1750°C에서 0, 3, 5, 및 7時間維持後 爐冷 하였으며 16mol% CaO -84mol% ZrO_2 의 試片은 1650, 1500, 및 1400°C에서도 각각 0, 3, 5 및 7時間維持後 爐冷 하였다. 燒成된 試片은 表面이 平滑하도록 400, 1000번 SiC研磨紙로 研磨하고 此 diamond polishing compound로 研磨하여 Aceton으로 씻은後 乾燥하였다. 乾燥된 試片은 silver paste를 바른 다음 完全 乾燥하여 電氣傳導度測定用試片으로 하였다.

2-2. 電氣傳導度測定

電氣傳導度測定에 使用된 爐는 kanthal heating wire를 감은 alumina tube爐이며 platinum lead wire를 使用하여 스프링式으로 荷重을 加해 試片의 接觸이 잘 되도록 하여 爐內의 一定한 位置에 놓이겠금 調節하였다. 抵抗測定은 日本 YOKOGAWA의 wheatstone bridge를 使用하였으며 다음 式에서 電氣傳導度를 計算하였는데, 이에 抵抗(R)은 750°C에서 350°C까지 50°C 간격으로 空氣中에서 测定하였다.

$$\text{電氣傳導度} (\sigma) = L/RA.$$

여기서 L은 試片의 두께, A는 斷面積이며 1/100mm의 micrometer를 使用하였다.

3. 實驗結果 및 考察

3-1. CaO 添加量變化影響

CaO 7~21mol%를 添加하여 烧成溫度 1750°C에서 維持時間은 變化시킨 試片의 350~750°C 游度範圍에서 测定한 傳導度값을 絶對溫度의 逆數 對 log conductivity로 plot한 結果는 Fig. 1~4와 같으며 CaO 添加量에 따른 傳導度值의 變化는 Fig. 5~8과 같다. Fig. 1~4에서 보면 維持時間이 증加록 傳導度값은若干 上昇하되, 또한 試片들의 高溫側에서의 傳導度值分布의 幅은 低溫에서 보다 좁게 나타남을 알 수 있다. 이를 高溫 電氣傳導度測定 結果報告^{6, 10~11D}와比較해보면 测定者마다 값이若干씩 다르기는 하나 다같이 高溫側에서는 测定值의 distribution의 幅이 좁게 나타난 點에서同一한 傾向을 立證하고 있다고 할 수 있다.

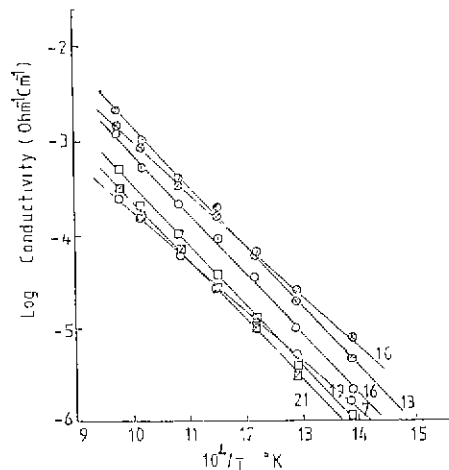


Fig. 1. Conductivity vs. reciprocal temperature for various compositions in the system $CaO-ZrO_2$ at 1750°C without soaking. (Numbers near the curves denote mole percent CaO)

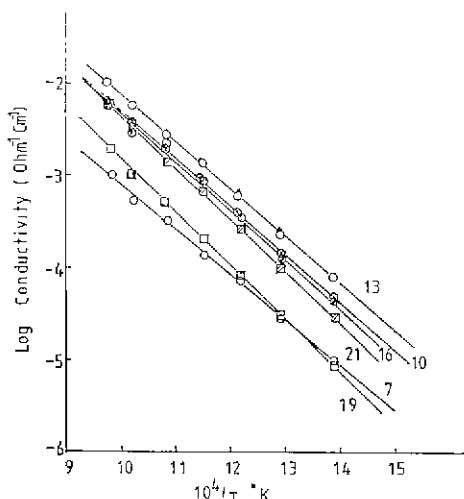


Fig. 2. Conductivity vs. reciprocal temperature for various compositions in the system $CaO-ZrO_2$ at 1750°C for 3 hrs.

또한 CaO 添加量이 많을수록 낮은 傳導度값을 나타내는 結果도 本 實驗 結果와 좋은 一致를 보여 주고 있다. Fig. 5~8의 結果를 보면 CaO 添加量의 13mol%까지는 添加量의 增加에 따라 傳導度값이 增加하다가 13mol%가 넘으진 CaO 添加量이 增加함에 따라 傳導度값은 反對로 減少하고 있다. 이는 Trombe와 Foëx¹², 그리고 Volchenkova와 Pa'l'guev¹³가 CaO 15mol%에서, 또 Tien⁹, Johansen⁹, Stricker等¹⁰은 CaO 12~13mol%에서 Dixon等⁷은 CaO 約 12mol%에서 각

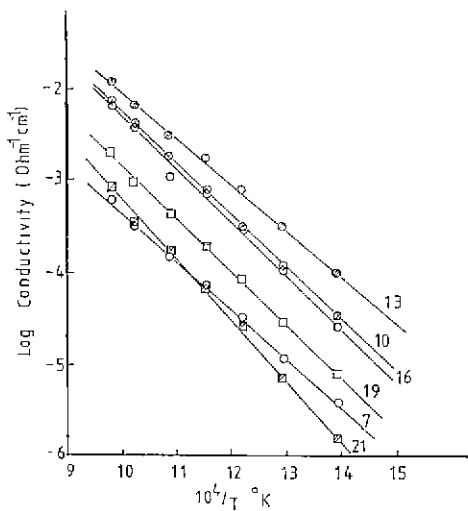


Fig. 3. Conductivity vs. reciprocal temperature for various composition in the system CaO-ZrO₂ at 1750°C for 5 hrs.

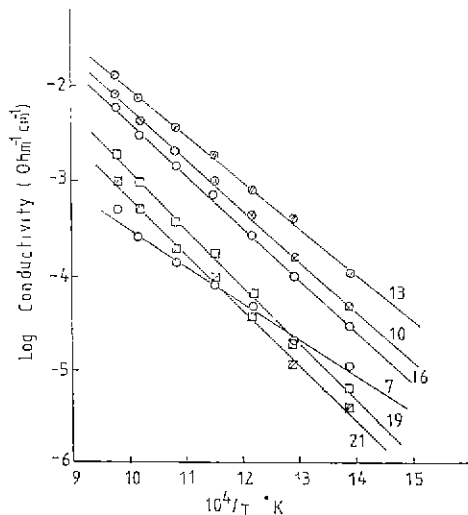


Fig. 4. Conductivity vs. reciprocal temperature for various composition in the system CaO-ZrO₂ at 1750°C for 7 hrs.

各 傳導度 값의 最大值를 報告하고 있어 本 實驗과一致된結果를 나타내고 있다. 이와같은 事實은 ZrO₂에 CaO 가 13mol%까지 添加될 때는 添加된 CaO 의 mole 數에 相應한 oxygen vacancy 가 생기기 때문에電氣傳導度는 CaO 添加量에 따라 增加한다. 또 cubic 單一相領域의 境界는 Duwez 等¹⁰에 依하면 CaO 16~28mol%인데 著者들의 研究에서 X-線 回折分析 結果는 Table 1¹⁵과 같이 cubic 單一相의 CaO 13mol%부터 나타났다. 따라서 傳導度의 最大值는 fluorite type

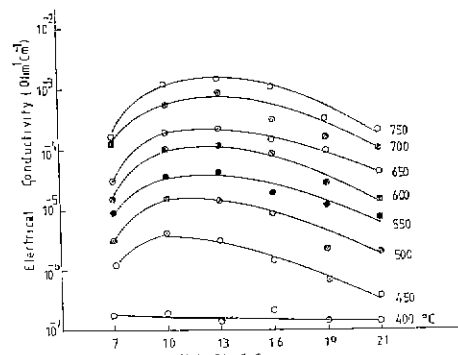


Fig. 5. Composition dependence of conductivity of CaO-ZrO₂ solid-solution at 1750°C without soaking.

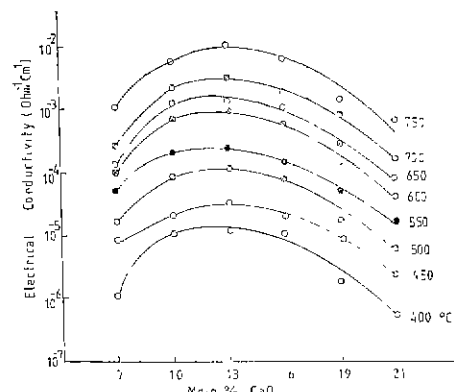


Fig. 6. Composition dependence of conductivity of CaO-ZrO₂ solid-solution at 1750°C for 3 hrs.

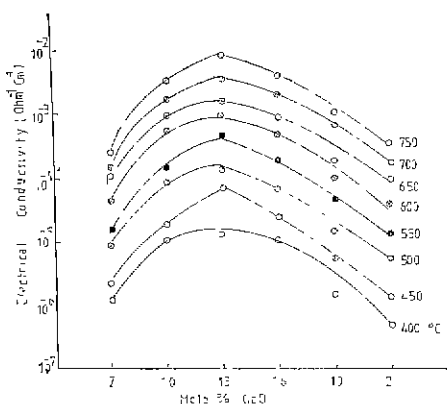


Fig. 7. Composition dependence of conductivity of CaO-ZrO₂ solid-solution at 1750°C for 5 hrs.

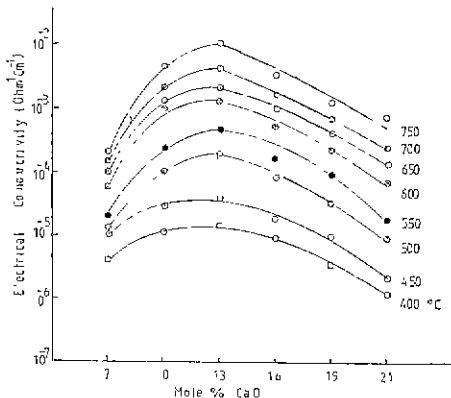


Fig. 8. Composition dependence of conductivity of $\text{CaO}-\text{ZrO}_2$ solid-solution at 1750°C for 7 hrs.

Table 1. X-ray diffraction and metallographic results for $\text{CaO}-\text{ZrO}_2$

Composition mole % CaO	X-ray	Metallographic
7	Monoclinic+cubic	Two phases
10	Cubic+trace monoclinic	Single phase
13	Cubic	Single phase
16	Cubic	Single phase
19	Cubic	Single phase
21	Cubic	Single phase

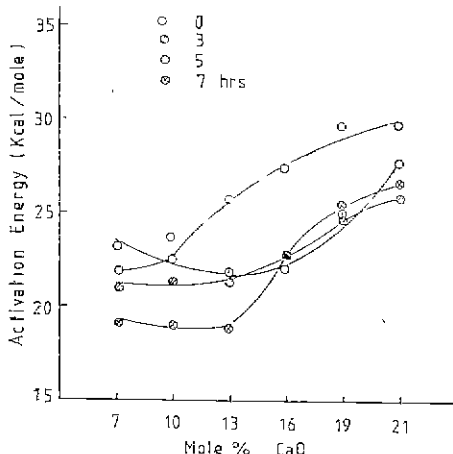


Fig. 9. Activation energy of $\text{CaO}-\text{ZrO}_2$ system at 1750°C for various soaking times

立方晶領域의低濃度側의相境界와一致한다는 Ando等¹⁶⁾의報告와 같은結果를 나타내고 있다. Fig. 1~4로부터 ion傳導의活性化 energy를求하여 plot

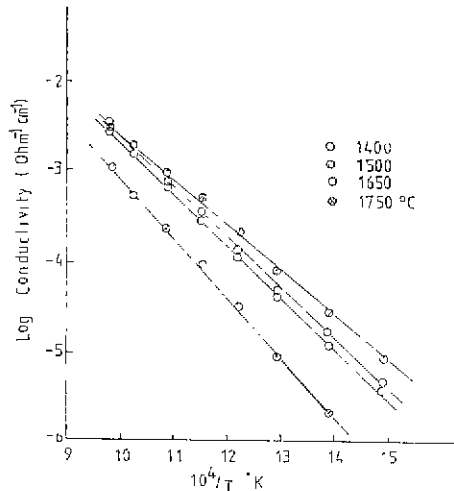


Fig. 10. Temperature dependence of conductivity of 16mol% $\text{CaO}-84\text{mol}\%$ ZrO_2 at various firing temperature without soaking.

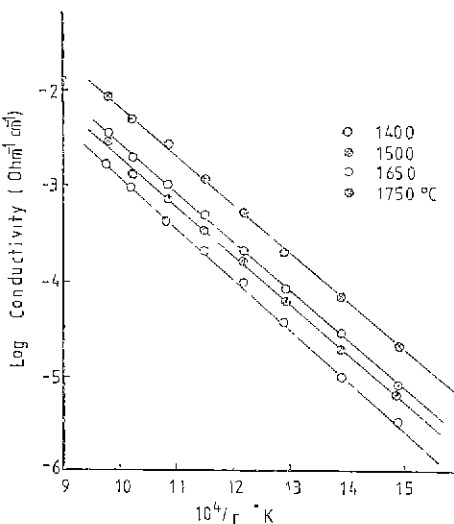


Fig. 11. Temperature dependence of conductivity of 16mol% $\text{CaO}-84\text{mol}\%$ ZrO_2 at various firing temperature for 3 hrs.

하면 Fig. 9와 같다. 여기서 CaO 添加量이 13mol%添加時까지는 약간減少하다가以後 CaO 添加量이增加하면活性化 energy값은增加하고 있으며燒成溫度에서의維持時間은 주지 않은 것은 높게 나타나고 있는데 CaO 添加量이增加할수록活性化 energy값이增加한다는 Tien¹¹⁾의結果와一致되고 있다.

3-2. 燃成溫度變化影響

CaO 16mol%添加한組成의試片을擇하여燒成溫

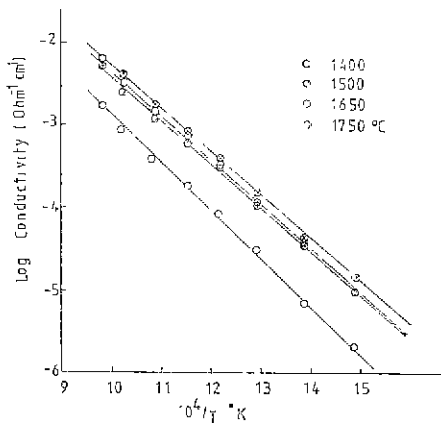


Fig. 12. Temperature dependence of conductivity of 16mol% CaO-84mol%ZrO₂ at various firing temperature for 5 hrs.

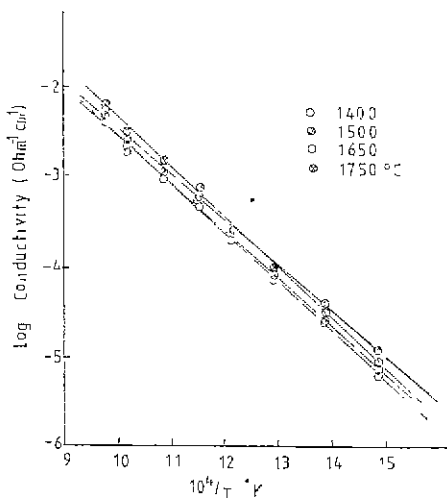


Fig. 13. Temperature dependence of conductivity of 16mol% CaO-84mol%ZrO₂ at various firing temperature for 7 hrs.

度와 維持時間은 變化 시켰을 때 電氣傳導度 变을 Arrhenius plot 한結果는 Fig. 10~17과 같으며, Fig. 10~13에서 同一한 維持時間에서 燃成溫度의 影響을 보며 維持를 하지 않을 경우를 除外하고는 維持時間이 길어지고 燃成溫度가 높아질수록 傳導度 变이 높아지고 있으며 Fig. 14~17의 각 燃成溫度에서 維持時間 影響을 보면 燃成溫度가 上昇할수록 維持時間에 따른 傳導度 变의 幅이 크게 나타나고 있다. 이는 燃成溫度가 높아지고 維持時間이 길수록 결보기 氣孔率은減少하-

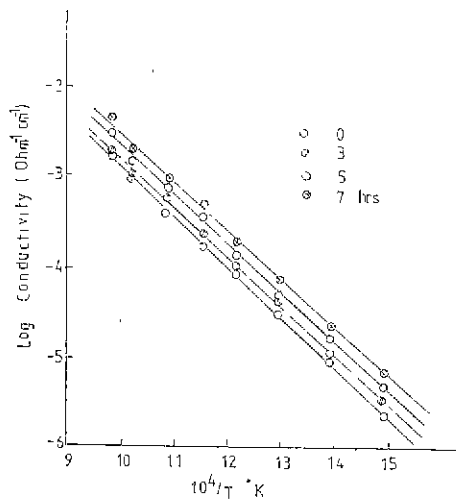


Fig. 14. Temperature dependence of conductivity of 16mol% CaO-84mol%ZrO₂ at 1400°C for soaking times.

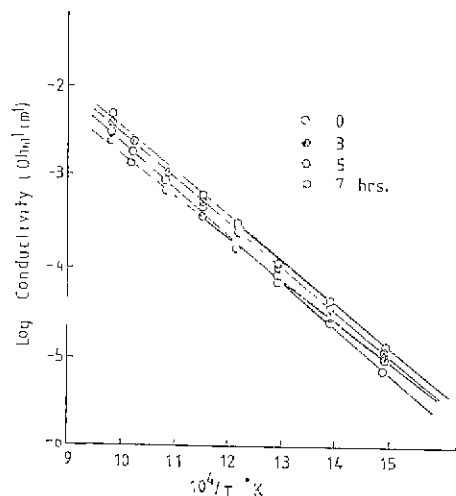


Fig. 15. Temperature dependence of conductivity of 16mol% CaO-84mol%ZrO₂ at 1500°C for soaking times.

고 결보기 比重은 增加하며¹⁷⁾ Fig. 18~21에서와 같이 grain이 成長되어 가는 組織을 나타냄으로 低溫에서의 安定化 zirconia의 電氣傳導度는 그 grain bulk 보다 grain boundary가 傳導의 抵抗을 支配하기 때문에 grain boundary에는 空隙이 存在하는 等으로 grain bulk의 傳導度가 보다 크다는 報告^{16, 18)}와 一致된다고 볼 수 있다. 即, 燃成溫度가 높고 維持時間이 길수록

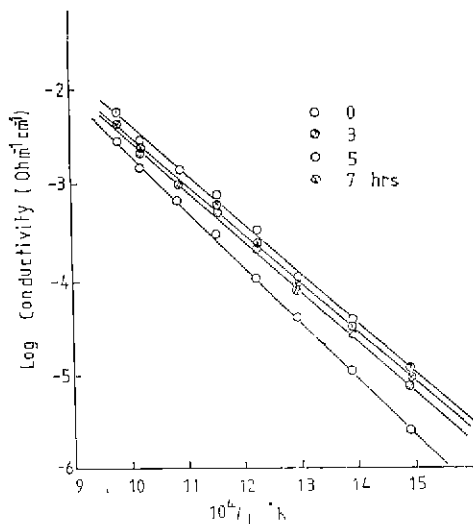


Fig. 16. Temperature dependence of conductivity of 16mol%CaO-84mol%ZrO₂ at 1650°C for soaking times.

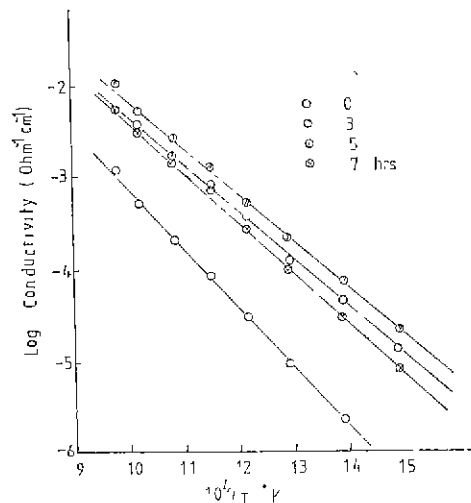
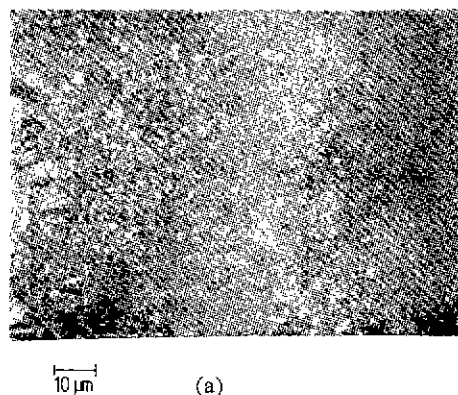
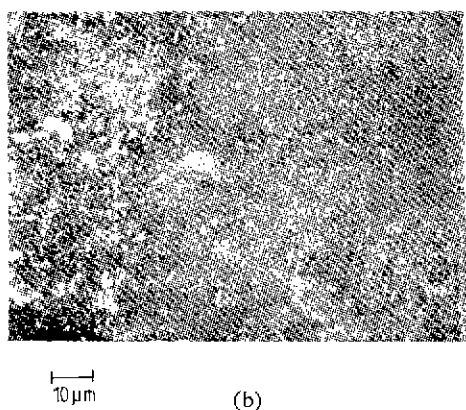


Fig. 17. Temperature dependence of conductivity of 16mol%CaO-84mol%ZrO₂ at 1750°C for soaking times.

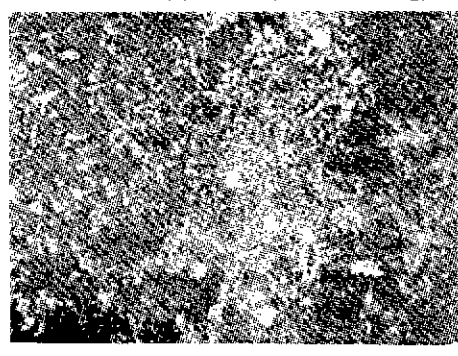


(a)

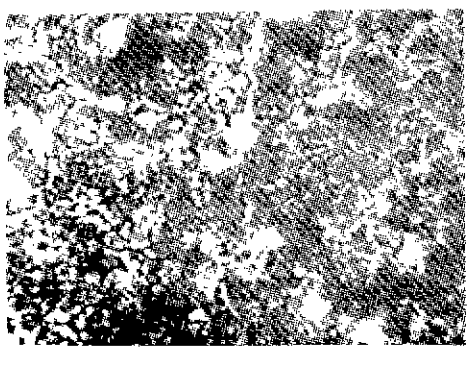


(b)

Fig. 18. Scanning electron microphotographs of specimen fired at 1400°C for (a) 0 hour
(b) 5 hrs ($\times 1000$ etching)



(a)

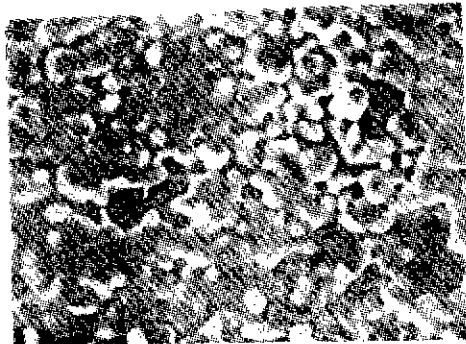


(b)

Fig. 19. Scanning electron microphotographs of specimens fired at 1500°C for (a) 0 hour (b) 5 hrs ($\times 1000$, etching)

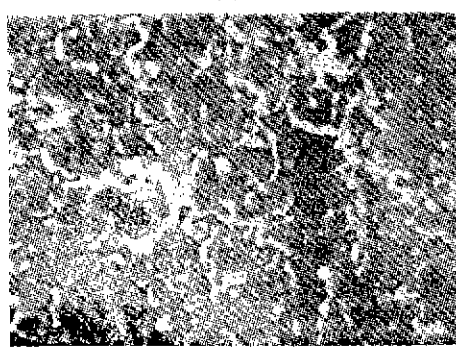


10μm (a)



10μm (b)

Fig. 20. Scanning electron microphotographs of specimens fired at 1650°C for (a) 0 hour (b) 5 hrs. ($\times 1000$, etching)



10μm (a)



10μm (b)

Fig. 21. Scanning electron microphotographs of specimens fired at 1750°C for (a) 0 hour (b) 5 hrs. ($\times 1000$, etching)

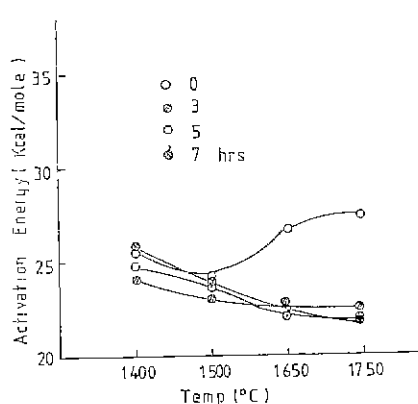


Fig. 22. Activation energy of 16mol% CaO-84mol% ZrO₂ at various firing temperature for soaking times.

grain 이 成長되어 grain bulk에 依한 傳導度 값이 높게 나타나고 反對로 溫度가 낮고 維持를 하지 않을 경우 많은 grain boundary 때문에 낮은 값을 나타낸다. Fig. 14~17로 부터 ion 傳導의 活性化 energy를 求하여 plot하면 Fig. 22와 같으며, 維持를 하지 않을 경우를 除外하고는 燒成 溫度가 높아지고, 維持 時間이 길수록 活性화 energy는 減少하고 있다.

4. 結 論

CaO-ZrO₂系에서 CaO 7~21mol% 範圍의 組成을 1750°C에서 0, 3, 5 및 7時間 燒成하고, CaO 16mol% 添加 組成은 燒成溫度와 維持時間은 각각 變化시켜 燒成한 試片을 2 단자법으로 350~750°C 範圍에서 空氣中에서 電氣傳導度를 測定하고 이에 activation energy를 求한 結果 다음과 같은 結論을 얻었다.

1) CaO 13mol%에서 傳導度 값은 極大值를 나타내며, CaO 13mol%부터 CaO 添加量이 增加할수록 傳

導度 값을減少한다.

- 2) 活性화 energy 는 CaO 13mol% 添加時까지 減少하다가 以後 CaO 添加量이 增加함에 따라 增加한다.
- 3) 燒成溫度가 높고, 維持時間이 길수록 傳導度 값을 增加하며, 活性화 energy 는 反對로 減少한다.

Reference

- 1) F. Hund, "Die Fluoritephase im System ZrO_2-CaO . Ihre Fehlordnung und das Auftreten elektrischer Leitfähigkeit," *Z. phys. Chem.*, **199**, 142-151 (1952)
- 2) K. Kiukkola and C. Wagner, "Measurements on Galvanic Cells Involving Solid Electrolytes," *J. Electrochem. Soc.*, **104** (6) 379-87 (1957)
- 3) J. Weissbart and R. Ruka, "A Solid Electrolyte Fuel Cell," *J. Electrochen. Soc.*, **109** (8) 723-26 (1962)
- 4) E.K. Keler and F.N. Nikitin, "High Temperature Ceramic Heaters," *J. Appl. Chem.*, **32** (9) 2033-36 (1959)
- 5) W.D. Kingery, J. Pappas, M.E. Doty and D.C. Hill, "Oxygen Ion Mobility in Cubic $Zr_{0.85}Ca_{0.15}O_{1.85}$," *J. Am. Ceram. Soc.*, **42**(85) 393-98 (1959)
- 6) T.Y. Tien and E.C. Subbarao, "X-Ray and Electrical Conductivity Study of Fluorite phase in the System ZrO_2-CaO ," *J. Chem. Phys.*, **39** (4) 1041-47 (1963)
- 7) J.M. Dixon, L.D. LaGrange, U. Merten, C.F. Miller, and J.T. Porter, "Electrical Resistivity of Stabilized Zirconia at Elevated Temperatures," *J. Electrochem. Soc.* **110** (4) 276-280 (1963)
- 8) H.A. Johansen and J.G. Cleary, "High-Temperature Electrical Conductivity in the Systems $CaO-ZrO_2$ and $CaO-HfO_2$," *J. Electrochem. Soc.*, **111** (1) 100-103 (1964)
- 9) W.H. Rhodes and R.E. Carter, "Cationic Self-Diffusion in Calcia-Stabilized Zirconia," *J. Am. Ceram. Soc.* **49** (5) 244-49 (1966)
- 10) D.W. Stricker and W.G. Carlson, "Ionic Conductivity of Cubic Solid Solutions in the System $CaO-Y_2O_3-ZrO_2$," *J. Am. Ceram. Soc.*, **47** (3) 122-27 (1964)
- 11) T.Y. Tien, "Electrical Conductivity in the System $ZrO_2-CaZrO_3$," *J. Am. Ceram. Soc.*, **47** (9) 430-33 (1964)
- 12) F. Trombe and M. Foëx, "Electrical Conductivity of the System Zirconium-Lime at High Temperature," *Compt. Rend.*, **236** (18) 1784-85 (1953)
- 13) Z.S. Volchenkova and S.F. Pal'guev, "Electrical Conductivity of Systems of Solid Oxides: II, The ZrO_2-CaO System; Electrical Conductivity and Transport Numbers," *Trans. Inst. Electrochem.*, No. 1, (1960) pp. 97-103.
- 14) P. Duwez, F. Odell, and F.H. Brown, Jr., "Stabilization of Zirconia with Calcia and Magnesia," *J. Am. Ceram. Soc.*, **35** (5) 107-13 (1952)
- 15) 朴金喆, 崔泳燮, "CaO-ZrO₂系 搪結體의 相變化와 微構造에 關한 研究", 烹業學會誌, **20** (3) 217-226 (1983)
- 16) K. Ando and Y. Oishi, "Phase Equilibrium and Diffusion of Constituent Ions in Systems of Zirconia Solid Solution," *Bull. Ceram. Soc. Japan*, **17** (6) 412-21 (1982)
- 17) 朴金喆, 崔泳燮, "16mol% CaO-84mol% ZrO₂ 固溶體의 搪結特性에 關한 研究", 烹業學會誌, **20** (4) 347-55 (1983)
- 18) J.F. Baumard, B. Cales and A.M. Anthony, "Stabilized Zirconia: Basic Science and Applications," *Ceramic Science and Technology at Present and in the Future*, Japan, 1981, pp. 161-191